

# НАПРЯЖЕНИЯ В ЦИЛИНДРИЧЕСКИХ АНТИСИММЕТРИЧНО ЗАГРУЖЕННЫХ ОБОЛОЧКАХ С НЕИЗГИБАЕМЫМ КОНТУРОМ ПОПЕРЕЧНОГО СЕЧЕНИЯ

Е. Н. НИКОЛЬСКИЙ И В. В. КОБИЩАНОВ

ИНСТИТУТ ТРАНСПОРТНОГО МАШИНОСТРОЕНИЯ, Г. БРЯНСК

(Поступило 10 декабря 1974 г.)

Представил: проф., докт. техн. наук Пал Михельбергер

Работа была составлена доцентом ктн. Кобыщановым на основании начатых ранее исследований, при своей стажировке на Кафедре механики Транспортного факультета БТУ

В теории цилиндрических оболочек с неизгибаемым контуром поперечного сечения [1, 2] учитываются все три составляющие деформации срединной поверхности оболочки, а именно: деформации в продольном ( $\epsilon_z$ ) и поперечном ( $\epsilon_s$ ) направлениях и деформация сдвига ( $\gamma$ ). По сравнению с теорией В. З. Власова для оболочек с недеформируемым контуром [3] эта теория позволяет получить уточненные результаты для срединных напряжений на участках оболочки, где проявляется местный эффект внешних сил. Причем, как отмечалось в работе [4], приемлемая точность может быть получена для оболочек, обладающих достаточно жёстким на изгиб поперечным контуром и, в частности, для оболочек, имеющих поперечные ребра жёсткости.

## 1. Уравнения для оболочек с неизгибаемым контуром при антисимметричном нагружении

В общих уравнениях теории, полученных в [1, 2], как и в теории В. З. Власова [3], перемещения контура поперечного сечения оболочки, соответствующего абсциссе  $z$ , определяются тремя функциями:  $\xi(z)$ ,  $\eta(z)$  и  $\theta(z)$ . Функции  $\xi(z)$  и  $\eta(z)$  представляют собой проекции перемещения произвольной точки  $A$ , фиксированной относительно неизгибаемого контура поперечного сечения, на направление осей  $Ox$  и  $Oy$  (рис. 1). Функция  $\theta(z)$  — угол поворота контура как твердого тела относительно точки  $A$ .

Если цилиндрическая оболочка имеет симметричный контур поперечного сечения и точка  $A$  расположена на оси симметрии  $Ox$ , то в зависимости от вида внешней нагрузки некоторые компоненты перемещения контура могут обращаться в нуль. В частности, если внешняя нагрузка симметрична относительно плоскости  $xOz$ , то функции  $\eta(z)$ ,  $\theta(z)$  равны нулю тождественно, а функция  $\xi(z)$  определяет прогибы средней образующей оболочки в направлении оси  $Ox$ . Исходя из этого, в работе [4] получены формулы для расчета

срединных напряжений в симметричных оболочках с U-образным контуром поперечного сечения.

В случае, когда плоскость  $xOz$  является плоскостью антисимметрии, функция  $\xi(z)$  равна нулю тождественно. Если внешняя антисимметричная нагрузка сводится только к нормальным  $p(z)$  и касательным  $t(z)$  силам, распределенным вдоль краевых образующих оболочки и действующим в плос-

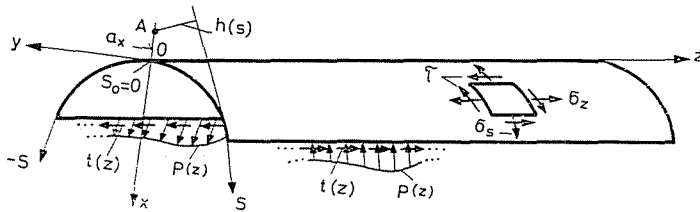


Рис. 1

кости, касательной к срединной поверхности, то уравнения теории оболочек с неизгибаемым контуром поперечного сечения имеют вид

$$\left. \begin{aligned} \nabla^2 \nabla^2 \varphi + E (\eta'' y'' + \Theta'' h') &= 0; \\ \int_s \frac{\partial^2 \varphi}{\partial z^2} y'' \delta ds = 0; \quad \int_s \frac{\partial^2 \varphi}{\partial z^2} h' \delta ds &= 0, \end{aligned} \right\} \quad (1)$$

где 
$$\nabla^2 \nabla^2 = \frac{\partial^4}{\partial z^4} + 2 \frac{\partial^4}{\partial z^2 \partial s^2} + \frac{\partial^4}{\partial s^4};$$

$y = y(s)$  — ордината контура (функция длины дуги контура  $s$ ),  $y'' = y''(s)$  — вторая производная  $y$  по  $s$ ;

$h = h(s)$  — длина перпендикуляра из точки  $A$  на направление касательной к линии контура,  $h' = h'(s)$  — первая производная  $h$  по  $s$ ;

$\eta'' = \eta''(z)$ ,  $\Theta'' = \Theta''(z)$  — вторые производные  $\eta$  и  $\Theta$  по  $z$ ;

$E$  — модуль упругости;

$\delta$  — толщина оболочки;

$\varphi = \varphi(z)$ , — функция напряжений в форме Эри, связанная с напряжениями следующими формулами:

$$\sigma_z = \frac{\partial^2 \varphi}{\partial s^2}, \quad \sigma_s = \frac{\partial^2 \varphi}{\partial z^2}, \quad \tau = - \frac{\partial^2 \varphi}{\partial z \partial s}, \quad (2)$$

$\sigma_z, \sigma_s, \tau$  — напряжения в срединной поверхности оболочки по площадкам, перпендикулярным координатным линиям  $z$  и  $s$  (рис. 1).

Интегралы в уравнениях (1) берутся по всей длине  $s$  контура поперечного сечения.

Условия на продольных краях оболочки (рис. 1) с учетом антисимметрии нагрузки имеют вид

$$\left. \begin{aligned} \sigma_s(z, s = -s_r) = -\sigma_s(z, s = s_r) = p(z); \\ \tau(z, s = \pm s_r) = t(z), \end{aligned} \right\} \quad (3)$$

где  $s_r$  — значение координаты  $s$  для крайней образующей.

Решение уравнений (1) при условиях (3) примем в рядах по синусам

$$\left. \begin{aligned} \varphi = -Nzs + \sum_{n=1}^{\infty} f_{n1} \sin \alpha z; \quad \eta'' = \sum_{n=1}^{\infty} B_n \sin \alpha z; \\ \Theta'' = \sum_{n=1}^{\infty} G_n \sin \alpha z, \end{aligned} \right\} \quad (4)$$

где 
$$\alpha = \frac{\pi n}{l}; \quad \alpha s_r = u_n, \quad (5)$$

$l$  — длина оболочки;

$$\begin{aligned} f_{n1} = -\frac{1}{\alpha^2} \{ [a_n \lambda_1(s) + c_n \lambda_2(s)] + B_n [\alpha f'_{n3}(s_r) \lambda_2(s) - \alpha^2 f_{n3}(s_r) \lambda_1(s) - \\ - \alpha^2 f_{n3}(s)] + G_n [\alpha f'_{n4}(s_r) \lambda_2(s) - \alpha^2 f_{n4}(s_r) \lambda_1(s) - \alpha^2 f_{n4}(s)] \}; \end{aligned} \quad (6)$$

$$N = \frac{1}{l} \int_0^l t(z) dz; \quad (7)$$

$$\left. \begin{aligned} \lambda_1(s) &= 2q_2 \alpha s \operatorname{ch} \alpha s - 2(q_2 + u_n \varphi_1) \operatorname{sh} \alpha s; \\ \lambda_2(s) &= 2q_1 \alpha s \operatorname{ch} \alpha s - 2u_n q_2 \operatorname{sh} \alpha s; \\ \lambda'_1(s) &= -2\alpha(u_n \varphi_1 \operatorname{ch} \alpha s - \varphi_2 \alpha s \operatorname{sh} \alpha s); \\ \lambda'_2(s) &= 2\alpha[(\varphi_1 - u_n \varphi_2) \operatorname{ch} \alpha s + \varphi_1 \alpha s \operatorname{sh} \alpha s]; \\ \lambda''_1(s) &= 2\alpha^2[\varphi_2 \alpha s \operatorname{ch} \alpha s + (\varphi_2 - u_n \varphi_1) \operatorname{sh} \alpha s]; \\ \lambda''_2(s) &= 2\alpha^2[\varphi_1 \alpha s \operatorname{ch} \alpha s + (2\varphi_1 - u_n \varphi_2) \operatorname{sh} \alpha s], \end{aligned} \right\} \quad (8)$$

$$\varphi_1 = \frac{1}{2 \left( \operatorname{ch} u_n - \frac{u_n}{\operatorname{sh} u_n} \right)}; \quad \varphi_2 = \frac{1}{2 \left( \operatorname{sh} u_n - \frac{u_n}{\operatorname{ch} u_n} \right)}; \quad (9)$$

$$f_{n3} = \frac{E}{2\alpha^2} \int_0^s \left[ \frac{1}{\alpha} \operatorname{sh} \alpha (s-u) - (s-u) \operatorname{ch} \alpha (s-u) \right] y''(u) \delta ds; \quad (10)$$

$$f_{n4} = \frac{E}{2\alpha^2} \int_0^s \left[ \frac{1}{\alpha} \operatorname{sh} \alpha (s-u) - (s-u) \operatorname{ch} \alpha (s-u) \right] h'(u) \delta ds; \quad (11)$$

$$a_n = \frac{2}{l} \int_0^l p(z) \sin \alpha z dz; \quad C_n = \frac{2}{l} \int_0^l t(z) \cos \alpha z dz - \quad (12)$$

— коэффициенты разложения в ряды Фурье функций нагрузок  $p(z)$ ,  $t(z)$  (при  $s = -s_r$ ).

Неизвестные коэффициенты  $B_n$  и  $G_n$  определяются следующей системой уравнений

$$\left. \begin{aligned} v_{2b} B_n + v_{2g} G_n &= V_2; \\ v_{3b} B_n + v_{3g} G_n &= V_3; \end{aligned} \right\} \quad (13)$$

где

$$\left. \begin{aligned} v_{2b} &= -M_1 H_1 + M_2 H_2 - \frac{1}{2} \alpha^2 H_3; \\ v_{2g} &= -R_1 H_1 + R_2 H_2 - \frac{1}{2} \alpha^2 H_3; \\ v_{3b} &= -M_1 F_1 + M_2 F_2 - \frac{1}{2} \alpha^2 F_3; \\ v_{3g} &= -R_1 F_1 + R_2 F_2 - \frac{1}{2} \alpha^2 F_3; \\ V_2 &= -T_1 H_1 + T_2 H_2; \\ V_3 &= -T_1 F_1 + T_2 F_2, \end{aligned} \right\} \quad (14)$$

здесь

$$\left. \begin{aligned} M_1 &= \alpha^2 f_{n3}(s_r) \varphi_2 - \alpha f'_{n3}(s_r) \varphi_1; \\ M_2 &= \alpha^2 f_{n3}(s_r) (\varphi_2 + u_n \varphi_1) - \alpha f'_{n3}(s_r) u_n \varphi_2; \\ R_1 &= \alpha^2 f_{n4}(s_r) \varphi_2 - \alpha f'_{n4}(s_r) \varphi_1; \\ R_2 &= \alpha^2 f_{n4}(s_r) (\varphi_2 + u_n \varphi_1) - \alpha f'_{n4}(s_r) u_n \varphi_2; \\ T_1 &= a_n \varphi_2 + C_n \varphi_1; \\ T_2 &= a_n (\varphi_2 + u_n \varphi_1) + C_n u_n \varphi_2; \end{aligned} \right\} \quad (15)$$

$$\left. \begin{aligned}
 H_1 &= \int_0^{s_r} \alpha \operatorname{sch} \alpha s y'' \delta ds ; & F_1 &= \int_0^{s_r} \alpha \operatorname{sch} \alpha s h' \delta ds ; \\
 H_2 &= \int_0^{s_r} \operatorname{sh} \alpha s y'' \delta ds ; & F_2 &= \int_0^{s_r} \operatorname{sh} \alpha s h' \delta ds ; \\
 H_3 &= \int_0^{s_r} f_{n3}(s) y'' \delta ds ; & F_3 &= \int_0^{s_r} f_{n3}(s) h' \delta ds ; \\
 H_4 &= \int_0^{s_r} f_{n4}(s) y'' \delta ds ; & F_4 &= \int_0^{s_r} f_{n4}(s) h' \delta ds .
 \end{aligned} \right\} (16)$$

$f_{n3}(s_r), f'_{n3}(s_r), f_{n4}(s_r), f'_{n4}(s_r)$  представляют собой значения функций  $f_{n3}(s), f_{n4}(s)$  и, соответственно, их производных  $f'_{n3}(s), f'_{n4}(s)$  при  $s = s_r$ .

Подставляя (6) в (4), получим из (2) следующие развернутые формулы для расчета срединных напряжений в цилиндрической оболочке с неизгибаемым контуром поперечного сечения при антисимметричном нагружении её нормальными  $p(z)$  и касательными  $t(z)$  тангенциальными усилиями по продольным образующим

$$\left. \begin{aligned}
 \sigma_z &= - \sum_{n=1}^{\infty} \frac{1}{\alpha^2} (a_n \lambda_1'' + c_n \lambda_2'') \sin \alpha z - \\
 &\quad - \sum_{n=1}^{\infty} B_n \left[ \frac{1}{\alpha} f'_{n3}(s_r) \lambda_2'' - f_{n3}(s_r) \lambda_1'' - f''_{n3}(s) \right] \sin \alpha z - \\
 &\quad - \sum_{n=1}^{\infty} G_n \left[ \frac{1}{\alpha} f'_{n4}(s_r) \lambda_2'' - f_{n4}(s_r) \lambda_1'' - f''_{n4}(s) \right] \sin \alpha z ; \\
 \sigma_s &= \sum_{n=1}^{\infty} (a_n \lambda_1 + c_n \lambda_2) \sin \alpha z + \\
 &\quad + \sum_{n=1}^{\infty} B_n [\alpha f'_{n3}(s_r) \lambda_2 - \alpha^2 f_{n3}(s_r) \lambda_1 - \alpha^2 f_{n3}(s)] \sin \alpha z + \\
 &\quad + \sum_{n=1}^{\infty} G_n [\alpha f'_{n4}(s_r) \lambda_2 - \alpha^2 f_{n4}(s_r) \lambda_1 - \alpha^2 f_{n4}(s)] \sin \alpha z ; \\
 \tau &= N + \sum_{n=1}^{\infty} \frac{1}{\alpha} (a_n \lambda_1' + c_n \lambda_2') \cos \alpha z + \\
 &\quad + \sum_{n=1}^{\infty} B_n [f'_{n3}(s_r) \lambda_2 - \alpha f_{n3}(s_r) \lambda_1 - \alpha f'_{n3}(s)] \cos \alpha z + \\
 &\quad + \sum_{n=1}^{\infty} G_n [f'_{n4}(s_r) \lambda_2 - \alpha f_{n4}(s_r) \lambda_1 - \alpha f'_{n4}(s)] \cos \alpha z .
 \end{aligned} \right\} (17)$$

В уравнениях (17) первые суммы выражают напряжения в плоской прямоугольной пластинке шириной  $2s_r$  и длиной  $l$  (развернутая на плоскость оболочка), загруженной по продольным краям теми же силами  $p(z)$ ,  $t(z)$ , что и оболочка на краевых образующих. Эти напряжения соответствуют известному в теории упругости решению Файлона для плоской прямоугольной пластинки [2]. Вторые и третьи суммы в (17) являются специфичными для оболочек с неизгибаемым контуром и выражают напряжения в оболочке от условной поверхностной нагрузки при отсутствии сил на краевых образующих [1, 2].

Анализ расчетных формул показал, что сходимость рядов в (17) неодинакова. Так вторые и третьи суммы являются быстро сходящимися, а сходимость первых сумм различна для различных значений координаты  $s$ . Вблизи продольных краев пластинки сходимость замедленная, особенно при прерывной внешней нагрузке. В связи с этим приходится вычислять значительное количество членов ряда, содержащих быстрорастущие гиперболические функции  $\text{sh}u_n$ ,  $\text{ch}u_n$ ,  $\text{sh}\alpha s$ ,  $\text{ch}\alpha s$ .

Вычисление функций  $\lambda_1(s)$ ,  $\lambda_2(s)$  и их производных при достаточно больших значениях величин аргументов гиперболических функций целесообразно проводить по приближенным формулам. При  $u_n < 12$  (погрешность в девятом десятичном знаке)

$$\left. \begin{aligned} \bar{\lambda}_1(s) &= (\alpha s - u_n - 1) e^{-(u_n - \alpha s)} ; \\ \bar{\lambda}_2(s) &= \frac{1}{\alpha} \lambda_1'(s) = (\alpha s - u_n) e^{-(u_n - \alpha s)} ; \\ \frac{1}{\alpha} \bar{\lambda}_2'(s) &= \frac{1}{\alpha^2} \bar{\lambda}_1''(s) = (1 + \alpha s - u_n) e^{-(u_n - \alpha s)} ; \\ \frac{1}{\alpha^2} \bar{\lambda}_2''(s) &= (2 + \alpha s - u_n) e^{-(u_n - \alpha s)} , \quad e = 2,71828 \dots \end{aligned} \right\} \quad (18)$$

На продольных краях пластинки ( $s = \pm s_r$ ) точные значения напряжений  $\sigma_s$  и  $\tau$  могут быть определены непосредственно из граничных условий (3). Для напряжений  $\sigma_z$  по этим краям при учете (18) получена зависимость

$$\begin{aligned} \sum_{n=1}^{\infty} \frac{1}{\alpha^2} (a_n \lambda_1'' + c_n \lambda_2'') \sin \alpha z \Big|_{s=\pm s_r} &= \sum_{n=1}^{n=m} \frac{1}{\alpha^2} (a_n \lambda_1'' + c_n \lambda_2'') \sin \alpha z \mp \\ &\mp p(z) - \sum_{n=1}^{n=m} a_n \sin \alpha z + 2 \sum_{n=m+1}^{\infty} c_n \sin \alpha z . \end{aligned} \quad (19)$$

В правой части (19) первые три слагаемые представляют собой конечные суммы ( $m$  — число членов ряда, соответствующее  $u_n = 12$ ). Последний ряд  $\sum_{n=m+1}^{\infty} c_n \sin \alpha z$  удобен для вычислений.

Уравнения (17) получены на основе представления решения системы (1) в форме рядов по синусам (4), что соответствует конкретным граничным условиям на криволинейных краях оболочки, а именно:

$$\text{при } z = 0 \text{ и } z = l \quad \sigma_z = 0, \quad \tau = t_z(s) \neq 0. \quad (20)$$

В результате на торцах оболочки возникают крутящие моменты и поперечные силы, которые находятся в равновесии с внешними силами, приложенными на продольных краях оболочки.

Выражения (4) ... (17) приобретают конкретную форму, если заданы параметры контура поперечного сечения, а именно: функции  $y''(s)$  и  $h'(s)$ . Рассмотрим частные случаи оболочек с симметричным контуром поперечного сечения, характерным для верхних частей кузовов крытых грузовых и пассажирских вагонов.

### 2. Круговая оболочка

Начало координат поместим на оси симметрии  $Ox$  контура поперечного сечения в верхней его точке  $s_0 = 0$ ; точка  $A$  расположена также на оси  $Ox$  снаружи контура на расстоянии  $a_x$  от начала координат (рис. 1). В этом случае

$$y''(s) = \frac{1}{R + a_x} h'(s) = \frac{1}{R} \sin \frac{s}{R}, \quad (21)$$

где  $R$  — радиус средней окружности контура.

Выражения (10), (11) и (16) при учете (21) примут вид

$$f_{n3}(s) = \frac{E}{2 \alpha^2 (\alpha^2 R^2 + 1)} \left[ \frac{3 \alpha^2 R^2 + 1}{(\alpha^2 R^2 + 1) \alpha} \operatorname{sh} \alpha s - \operatorname{sch} \alpha s - \frac{2 \alpha^2 R^3}{\alpha^2 R^2 + 1} \sin \frac{s}{R} \right]; \quad (22)$$

$$f_{n4}(s) = (R + a_x) f_{n3}(s); \quad (23)$$

$$H_1 = \frac{1}{R + a_x} F_1 = \frac{R \delta \alpha}{\alpha^2 R^2 + 1} \left( u_n \operatorname{sh} u_n - \frac{\alpha^2 R^2 - 1}{\alpha^2 R^2 + 1} \operatorname{ch} u_n \right); \quad (24)$$

$$H_2 = \frac{1}{R + a_x} F_2 = \frac{R \delta \alpha}{\alpha^2 R^2 + 1} \operatorname{ch} u_n; \quad (25)$$

$$\begin{aligned} H_3 &= \frac{1}{R + a_x} F_3 = \frac{1}{R + a_x} H_4 = \frac{1}{(R + a_x)^2} F_4 = \\ &= \frac{ER \delta}{2 \alpha^2 (\alpha^2 R^2 + 1)^2} \left[ \frac{4 \alpha^2 R^2}{\alpha^2 R^2 + 1} \operatorname{ch} u_n - u_n (\operatorname{sh} u_n + R \alpha) \right]. \end{aligned} \quad (26)$$

Имея выражения (22) . . . (26) и используя формулы (7), (8), (9), (12) . . . (15), (17) . . . (19), можно рассчитать напряжения в открытой круговой цилиндрической оболочке, загруженной антисимметрично нормальными  $p(z)$  и касательными  $t(z)$  усилиями на краевых образующих оболочки.

### 3. Цилиндрическая оболочка с U—образным контуром поперечного сечения

Ограничимся рассмотрением частного случая оболочки с U—образным симметричным контуром поперечного сечения, составленным из плавно сопрягаемых дуг окружностей двух различных радиусов и прямых (рис 2).

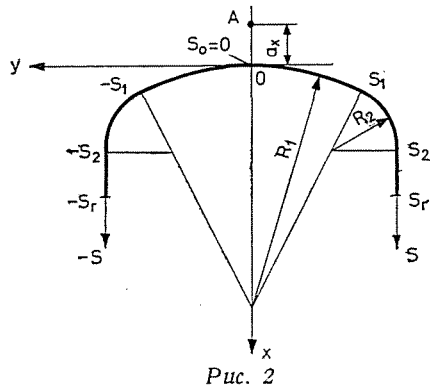


Рис. 2

Для принятых положений начала координат и точки А функции  $y''(s)$  и  $\bar{h}'(s)$  имеют вид

$$\left. \begin{aligned} y''(s) &= \frac{1}{R_1} \sin \frac{s}{R_1} + \frac{1}{R_2} \sin \left( \frac{s-s_1}{R_2} + \frac{s_1}{R_1} \right) + 0 ; \\ h'(s) &= A_1 \sin \frac{s}{R_1} + A_2 \sin \left( \frac{s-s_1}{R_2} + \frac{s_1}{R_1} \right) + A_3 \cos \left( \frac{s-s_1}{R_2} + \frac{s_1}{R_1} \right) + 0 , \end{aligned} \right\} \quad (27)$$

где

$$\left. \begin{aligned} A_1 &= \frac{1}{R_1} (a_x + R_1) ; \\ A_2 &= \frac{1}{R_2} \left[ a_x + R_1 - (R_1 - R_2) \cos \frac{s_1}{R_1} \right] ; \\ A_3 &= \frac{1}{R_2} (R_1 - R_2) \sin \frac{s_1}{R_1} ; \end{aligned} \right\} \quad (28)$$

$s_1$  — координата точки сопряжения дуг окружностей радиусов  $R_1$  и  $R_2$ ;  
 $s_2$  — координата точки сопряжения дуги окружности радиуса  $R_2$  с прямо-  
 линейным участком;

$a_x$  — расстояние от начала координат до точки  $A$  (по оси  $Ox$ ).

Знак  $\overbrace{s_i}^s \overbrace{s_{i+1}}$  имеет смысл функционального прерывателя и указы-  
 вает, что стоящее над ним выражение определяет функцию только в  
 промежутке  $s_i \leq s \leq s_{i+1}$ . Для всех значений  $s$ , не лежащих в указанном  
 промежутке, это выражение равно нулю тождественно.

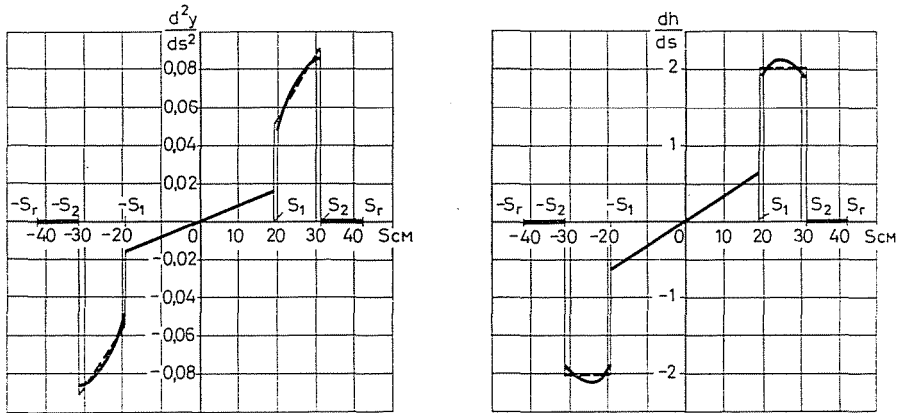


Рис. 3

Использование функций  $y''(s)$ ,  $h'(s)$  в форме (27), (28) приводит к весьма  
 сложным расчетам. В связи с этим целесообразно упростить эти функции,  
 аппроксимируя их кусочно-линейными функциями вида

$$y''_1(s) = \underbrace{e_1 s}_{0 \ s \ s_1} + \underbrace{e_2 s}_{s_1 \ s \ s_2} + \underbrace{L}_{s_2 \ s \ s_r} + \underbrace{0}_{s_2 \ s \ s_r}; \tag{29}$$

$$h'_1(s) = \underbrace{k_1 s}_{0 \ s \ s_1} + \underbrace{k_2 s}_{s_1 \ s \ s_2} + \underbrace{M}_{s_2 \ s \ s_r} + \underbrace{0}_{s_2 \ s \ s_r}, \tag{30}$$

где  $e_i$ ,  $k_i$  — тангенсы углов наклона отрезков прямых  $y''(s)$ ,  $h'(s)$ ;  
 $L$ ,  $M$  — отрезки, отсекаемые прямыми на осях  $Oy''$  и  $Oh'$ .

Достаточность такого аппроксимирования проверена на ряде расчетов.  
 Для примера на рис. 3 приведены графики функций  $y''(s)$  и  $h'(s)$  (сплошные  
 линии), соответствующих контуру поперечного сечения крыши модели кузова  
 крытого грузового вагона с размерами:  $R_1 = 34$  см;  $R_2 = 11,6$  см;  $s_1 = 19,6$  см;  
 $s_2 = 31,1$  см;  $s_r = 42$  см;  $b = 47,6$  см;  $a_x = 6,2$  см. Штриховыми линиями пока-  
 заны графики аппроксимирующих функций  $y''_1(s)$  и  $h'_1(s)$ .

Выражения (10), (11) и (16) при задании функций  $y''$  и  $h'$  в виде кусочно-линейных (29), (30) примут вид

$$\begin{aligned} \frac{2\alpha^5}{E} f_{n4}(s) = & \frac{e_1 [3 \operatorname{sh} \alpha s - \alpha s (\operatorname{ch} \alpha s + 2)]}{\underbrace{\quad\quad\quad}_s} + \frac{e_1 (3 \operatorname{sh} \alpha s - \alpha s \operatorname{ch} \alpha s) -}{\underbrace{\quad\quad\quad}_{s_1}} - \\ & - \frac{[\alpha^2 (s - s_1) D_1 + 3 (e_1 - e_2)] \operatorname{sh} \alpha (s - s_1) + \alpha [D_3 + (e_1 - e_2) s] \times}{\underbrace{\quad\quad\quad}_s} \\ & \times \operatorname{ch} \alpha (s - s_1) - 2 \alpha (e_2 s + L) + \frac{e_1 (3 \operatorname{sh} \alpha s - \alpha s \operatorname{ch} \alpha s) - [\alpha^2 (s - s_1) D_1 +}{\underbrace{\quad\quad\quad}_{s_2}} + \\ & + 3 (e_1 - e_2)] \operatorname{sh} \alpha (s - s_1) + \alpha [D_3 + (e_1 - e_2) s] \operatorname{ch} \alpha (s - s_1) +}{\underbrace{\quad\quad\quad}_s} \\ & + \frac{[\alpha^2 (s - s_2) D_2 - 3 e_2] \operatorname{sh} \alpha (s - s_2) - \alpha [2 L - e_2 (s - 3 s_2)] \operatorname{ch} \alpha (s - s_2)}{\underbrace{\quad\quad\quad}_{s_r}}. \quad (31) \end{aligned}$$

Первые и вторые производные функций  $f_{n3}(s)$  по  $s$  получают выражения

$$\begin{aligned} \frac{2\alpha^4}{E} f'_{n3}(s) = & \frac{e_1 (2 \operatorname{ch} \alpha s - \alpha s \operatorname{sh} \alpha s - 2)}{\underbrace{\quad\quad\quad}_s} + \frac{e_1 (2 \operatorname{ch} \alpha s - \alpha s \operatorname{sh} \alpha s) +}{\underbrace{\quad\quad\quad}_{s_1}} + \\ & + \frac{\alpha [L + (e_1 - e_2) (s - 2s_1)] \operatorname{sh} \alpha (s - s_1) -}{\underbrace{\quad\quad\quad}_s} - \\ & - \frac{[\alpha^2 (s - s_1) D_1 + 2 (e_1 - e_2)] \operatorname{ch} \alpha (s - s_1) - 2 e_2 +}{\underbrace{\quad\quad\quad}_{s_2}} + \\ & + \frac{e_1 (2 \operatorname{ch} \alpha s - \alpha s \operatorname{sh} \alpha s) + \alpha [L + (e_1 - e_2) (s - 2s_1)] \operatorname{sh} \alpha (s - s_1) -}{\underbrace{\quad\quad\quad}_{s_2}} - \\ & - \frac{[\alpha^2 (s - s_1) D_1 + 2 (e_1 - e_2)] \operatorname{ch} \alpha (s - s_1) - \alpha [L - e_2 (s - 2s_2)] \operatorname{sh} \alpha (s - s_2) +}{\underbrace{\quad\quad\quad}_s} + \\ & + \frac{[\alpha^2 (s - s_2) D_2 - 2 e_2] \operatorname{ch} \alpha (s - s_2)}{\underbrace{\quad\quad\quad}_{s_r}}; \quad (32) \end{aligned}$$

$$\begin{aligned} \frac{2\alpha^3}{E} f''_{n3}(s) = & \frac{e_1 (\operatorname{sh} \alpha s - \alpha s \operatorname{ch} \alpha s)}{\underbrace{\quad\quad\quad}_s} + \frac{e_1 (\operatorname{sh} \alpha s - \alpha s \operatorname{ch} \alpha s) -}{\underbrace{\quad\quad\quad}_{s_1}} - \\ & - \frac{[\alpha^2 (s - s_1) D_1 + e_1 - e_2] \operatorname{sh} \alpha (s - s_1) + \alpha (e_1 - e_2) (s - s_1) \operatorname{ch} \alpha (s - s_1) +}{\underbrace{\quad\quad\quad}_{s_2}} + \\ & + \frac{e_1 (\operatorname{sh} \alpha s - \alpha s \operatorname{ch} \alpha s) - [\alpha^2 (s - s_1) D_1 + e_1 - e_2] \operatorname{sh} \alpha (s - s_1) +}{\underbrace{\quad\quad\quad}_{s_2}} - \\ & + \frac{\alpha (e_1 - e_2) (s - s_1) \operatorname{ch} \alpha (s - s_1) + [\alpha^2 (s - s_2) D_2 - e_2] \operatorname{sh} \alpha (s - s_2) +}{\underbrace{\quad\quad\quad}_s} + \\ & + \frac{\alpha e_2 (s - s_2) \operatorname{ch} \alpha (s - s_2)}{\underbrace{\quad\quad\quad}_{s_r}}. \quad (33) \end{aligned}$$

$$\begin{aligned} \frac{1}{\delta} H_1 &= \int_0^{s_1} \alpha s \operatorname{ch} \alpha s y_1'' ds = \left[ \frac{2}{\alpha^2} (e_1 - e_2) - D_1 s_1 \right] \operatorname{sh} \alpha s_1 + \\ &+ \frac{1}{\alpha} [L - 2(e_1 - e_2) s_1] \operatorname{ch} \alpha s_1 + \left( \frac{2}{\alpha^2} e_2 + D_2 s_2 \right) \operatorname{sh} \alpha s_2 - \frac{1}{\alpha} (L + 2 e_2 s_2) \operatorname{ch} \alpha s_2 ; \end{aligned} \quad (34)$$

$$\begin{aligned} \frac{1}{\delta} H_2 &= \int_0^{s_2} \operatorname{sh} \alpha s y_1'' ds = \\ &= \frac{1}{\alpha} \left[ D_2 \operatorname{ch} \alpha s_2 - \frac{1}{\alpha} e_2 \operatorname{sh} \alpha s_2 - D_1 \operatorname{ch} \alpha s_1 - \frac{1}{\alpha} (e_1 - e_2) \operatorname{sh} \alpha s_1 \right] ; \end{aligned} \quad (35)$$

$$\begin{aligned} \frac{2 \alpha^5}{\delta E} H_4 &= \frac{2 \alpha^5}{E} \int_0^{s_1} f_{n4}(s) y_1'' ds = k_1 \left[ D_1 s_1 - \frac{5}{\alpha^2} (e_1 - e_2) \right] \operatorname{sh} \alpha s_1 - \\ &- \frac{1}{\alpha} k_1 [4L - 5(e_1 - e_2) s_1] \operatorname{ch} \alpha s_1 - k_1 \left( D_2 s_2 + \frac{5}{\alpha^2} e_2 \right) \operatorname{sh} \alpha s_2 + \\ &+ \frac{1}{\alpha} k_1 (4L + 5 e_2 s_2) \operatorname{ch} \alpha s_2 + \left\{ D_1' [L + e_2 (2 s_2 - s_1)] + D_2 D_3' + \right. \\ &+ (k_1 - k_2) \left( D_2 s_2 + \frac{5}{\alpha^2} e_2 \right) \left. \right\} \operatorname{sh} \alpha (s_2 - s_1) - \left\{ \frac{1}{\alpha} [D_3' e_2 + (k_1 - k_2) (4L + 5 e_2 s_2)] + \right. \\ &+ \alpha D_1' \left[ D_2 (s_2 - s_1) + \frac{2}{\alpha^2} e_2 \right] \left. \right\} \operatorname{ch} \alpha (s_2 - s_1) + \frac{4}{\alpha} [M e_2 + (k_1 - k_2) L] - \\ &- \alpha \left[ \frac{2}{3} s_1^3 (k_1 e_1 - k_2 e_2) + \frac{2}{3} k_2 e_2 s_2^3 + 2 L M (s_2 - s_1) + (k_2 L + e_2 M) (s_2^2 - s_1^2) \right] , \end{aligned} \quad (36)$$

где

$$\left. \begin{aligned} D_1 &= L - (e_1 - e_2) s_1 ; & D_1' &= M - (k_1 - k_2) s_1 ; \\ D_2 &= L + e_2 s_2 ; & D_2' &= M + k_2 s_2 ; \\ D_3 &= 2L - 3(e_1 - e_2) s_1 ; & D_3' &= 2M - 3(k_1 - k_2) s_1 . \end{aligned} \right\} \quad (37)$$

Выражения для функций  $f_{n4}(s)$ , её первой и второй производных, а также для величин  $F_1, F_2, F_4$  получаются из (31—36) заменой  $e_1, e_2, L, D_1, D_2, D_3$  соответственно на  $k_1, k_2, M, D_1', D_2', D_3'$ .

Выражение для  $H_3$  получается из (36) путем замены  $k_1, k_2, M, D_1', D_3'$  соответственно на  $e_1, e_2, L, D_1, D_3$ .

Выражение для  $F_3$  получается из (36) путем замены  $k_1, k_2, M, D'_1, D'_3$  соответственно на  $e_1, e_2, L, D_1, D_3$  и заменой величин  $e_1, e_2, L, D_1, D_2$  в (36) на  $k_1, k_2, M, D'_1, D'_2$ .

В качестве примера рассмотрим расчет оболочки верхней части кузова, нагруженной антисимметрично нормальными усилиями (рис. 4а) и закрепленной по концевым сечениям шарнирно (при  $z = 0$  и  $z = l, \eta = \theta = 0, \sigma_z =$

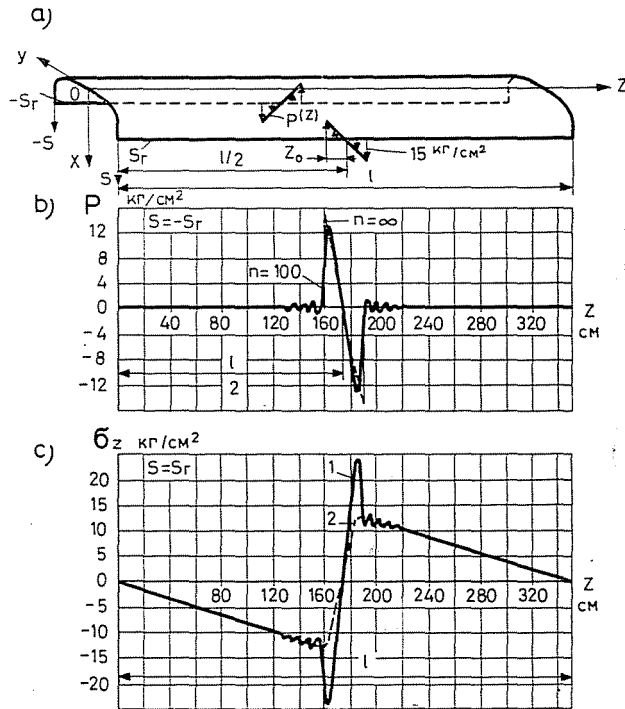


Рис. 4

$= 0, \tau \neq 0$ ). Контур поперечного сечения имеет те же параметры, что и примере на рис. 3; толщина оболочки  $\delta = 0,035$  см.

Расчетная нагрузка, эпюра которой приведена на рис. 4 в, задана тригонометрическим полиномом

$$p(z)|_{s=-s_r} = \frac{4}{\pi} \sum_{n=2,4,6,\dots}^{100} \frac{1}{n} \cos \frac{\pi n}{2} \left( 15 \cos \frac{\pi n}{l} z_0 - \frac{l}{\pi n} \sin \frac{\pi n}{l} z_0 \right) \sin \frac{\pi n}{l} z, \quad (38)$$

где  $l = 350$  см;  $z_0 = 15$  см.

На рис. 4 с изображены эпюры нормальных напряжений  $\sigma_z$  по краевой образующей  $s = s_s$ , определенных с помощью формул (17) теории оболочек с

неизгибаемым контуром (кривая 1) и с помощью теории оболочек с недеформируемым контуром (кривая 2). В таблице приведены значения напряжений  $\sigma_z$  по двум поперечным сечениям оболочки.

Координата $S$	Величины $\sigma_z$ в кг/см <sup>2</sup> по сечениям оболочки			
	По теории оболочек с неизгибаемым контуром		По теории оболочек с недеформируемым контуром	
	$z=50$ см	$z=160$ см	$z=50$ см	$z=160$ см
в см				
5,25	0,67	1,41	0,65	2,04
10,5	1,26	2,81	1,27	3,99
15,75	1,69	4,26	1,72	5,40
21,0	1,85	5,71	1,80	5,65
26,25	1,24	4,88	1,25	3,92
31,5	-0,33	0,43	-0,35	-1,10
36,75	-2,30	-6,60	-2,28	-7,16
42,0	-4,33	-18,44	-4,40	-13,81

Применение: 1. При  $S = 0$   $\sigma_z = 0$  для всех  $z$ .  
 2. При  $S < 0$   $\sigma_z$  меняет знак.

Из рис. 4 с и таблицы видно, что на участках оболочки, удаленных от точек приложения нагрузки, напряжения, определённые по упомянутым теориям, практически одинаковы. На участках концентрации нагрузки и вблизи него закон распределения напряжений, соответствующий теории оболочек с неизгибаемым контуром, отличен от секториального (максимальные напряжения в 1,7 раза больше, чем напряжения, определённые по теории оболочек с недеформируемым контуром).

Рассматривая полученные результаты, можно сделать вывод, что алгоритм расчета оболочки верхней части кузова при антисимметричном нагружении, построенный на основе теории оболочек с неизгибаемым контуром поперечного сечения, позволяет с достаточной точностью определять средние напряжения в оболочке, включая участки высокой концентрации напряжений.

#### 4. Вариант приближенного решения для антисимметрично нагруженных оболочек с неизгибаемым контуром

Как видно из приведенных формул, наиболее громоздким является вычисление вторых и третьих сумм в (17) и, в частности, расчет коэффициентов  $B_n$  и  $G_n$ , определяющих функции  $\eta''(z)$  и  $\theta''(z)$  соответственно (4). Задачу можно существенно упростить, если для вычисления этих коэффициентов воспользоваться теорией оболочек с недеформируемым контуром [3].

Согласно этой теории при антисимметричном нагружении оболочки по краевым образующим нормальными  $p(z)$  и касательными  $t(z)$  силами перемещения контура поперечного сечения как твердого тела сводится к пере-

мещению  $\eta$  и повороту  $\Theta$  вокруг центра изгиба. Поместив точку  $A$  в центр изгиба, можно определить эти перемещения на базе теории В. З. Власова. При этом необходимо учесть граничные условия на криволинейных краях оболочки (20), отвечающие принятой форме решения в рядах по синусам. Эти условия соответствуют шарнирному опиранию оболочки на концах  $z = 0$  и  $z = l$  [3].

Зная  $\eta(z)$  и  $\Theta(z)$  и переходя ко вторым производным этих функций, легко найти коэффициенты  $B_n$  и  $G_n$  как коэффициенты Фурье функций  $\eta''$  и  $\Theta''$  (4). После этого для расчета срединных напряжений в U-образной оболочке достаточно использовать формулы (7), (8), (9), (12), (18), (19), (31) ... (37) и (17).

Такое решение, основанное на использовании гипотезы о недеформируемости контура при определении функций  $\eta(z)$  и  $\Theta(z)$ , будет приближенным, поскольку положение центра изгиба в теории оболочек с неизгибаемым контуром несколько отличается от положения, которое устанавливается теорией В. З. Власова. Однако это приближенное решение для оболочек с неизгибаемым контуром дает качественное уточнение результатов по сравнению с теорией В. З. Власова для участков оболочки, где приложены внешние контурные силы значительной интенсивности, вызывающие концентрацию напряжений. Это следует из того, что первые суммы в (17), представляющие напряжения в прямоугольной пластинке (развернутая на плоскость оболочка) от заданных сил  $p(z)$  и  $t(z)$  на краевых образующих и определяющие местную картину напряжений, решаются точно.

### Резюме

В статье приводятся уравнения, дающие возможность провести практические расчеты срединных напряжений в открытых цилиндрических оболочках с симметричным контуром поперечного сечения переменной кривизны, нагруженных антисимметрично. Рассмотрены случаи применения общих уравнений к расчету срединных напряжений в элементах кузова вагона, представляющих собой подкрепленные цилиндрические оболочки.

### Литература

1. Никольский, Е. Н. Известия АН СССР, ОТН, **6**, 45, (1956).
2. Никольский, Е. Н. Оболочки с вырезами типа вагонных кузовов, Машгиз, Москва, 1963
3. Власов, В. З. Тонкостенные упругие стержни, ФИЗМАТГИЗ, Москва, 1959.
4. Никольский, Е. Н. Acta Techn. Sci. Hung., **50**, 251, (1965).

Профессор; Е. Н. Никольский;  
Доцент В. В. Кобищанов.

Брянский институт транспортного машиностроения, 241035, Брянск, СССР.